

*На правах рукописи*



**ТИТОВ Роман Алексеевич**

**ТЕХНОЛОГИЧЕСКИЕ И СТРУКТУРНЫЕ  
ФАКТОРЫ ФОРМИРОВАНИЯ ФИЗИЧЕСКИХ  
ХАРАКТЕРИСТИК НЕЛИНЕЙНО-ОПТИЧЕСКИХ  
МОНОКРИСТАЛЛОВ НИОБАТА ЛИТИЯ,  
ЛЕГИРОВАННЫХ ЦИНКОМ И БОРОМ**

*Специальность 2.6.7 — Технология неорганических веществ*

**АВТОРЕФЕРАТ  
диссертации на соискание учёной степени  
кандидата технических наук**

Апатиты – 2022

Работа выполнена в лаборатории материалов электронной техники Института химии и технологии редких элементов и минерального сырья им. И. В. Тананаева – обособленного подразделения Федерального государственного бюджетного учреждения науки Федерального исследовательского центра «Кольский научный центр Российской академии наук» (ИХТРЭМС КНЦ РАН)

**Научный руководитель:** Сидоров Николай Васильевич,  
доктор физико-математических наук, профессор,  
заслуженный химик РФ, главный научный сотрудник  
лаборатории материалов электронной техники  
ИХТРЭМС КНЦ РАН

**Официальные оппоненты:** Строганова Елена Валерьевна,  
доктор физико-математических наук, доцент, профессор  
кафедры оптоэлектроники, декан физико-технического  
факультета, Федеральное государственное бюджетное  
образовательное учреждение высшего образования  
«Кубанский государственный университет» (ФГБОУ ВО  
«КубГУ»)

**Шлыков Сергей Александрович,**  
доктор химических наук, доцент, заведующий кафедрой  
физической и коллоидной химии, Федеральное государственное  
бюджетное образовательное учреждение высшего  
образования «Ивановский государственный химико-  
технологический университет» (ФГБОУ ВО «ИГХТУ»)

**Ведущая организация:** ООО «Научно-Производственная Компания "Оптолинк"»  
(Москва, Зеленоград)

Защита состоится «14» марта 2023 г. в 14 часов 30 минут на заседании диссертационного совета 24.1.226.01 при Федеральном государственном бюджетном учреждении науки Федеральном исследовательском центре «Кольский научный центр Российской академии наук» по адресу: 184209, г. Апатиты, Мурманской обл., Академгородок, д. 26 а.

С диссертацией можно ознакомиться в библиотеке ИХТРЭМС КНЦ РАН и на сайте <http://chemi-ksc.ru>.

Автореферат разослан «\_\_\_» 202\_\_\_ г.

Ученый секретарь  
диссертационного совета

Прохорова Татьяна Юрьевна

## ОБЩАЯ ХАРАКТЕРИСТИКА РАБОТЫ

**Актуальность работы.** В качестве функциональных нелинейно-оптических материалов для лазерной и параметрической генерации, для преобразования лазерного излучения, в том числе на периодически поляризованных доменах субмикронных размеров, в настоящее время перспективны высокосовершенные монокристаллы ниобата лития ( $\text{LiNbO}_3$ ), обладающие одновременно высокой композиционной однородностью, максимально низкими эффектом фотопрефракции и коэрцитивным полем, что делает актуальными разработки технологий получения и исследования особенностей структуры и физических характеристик таких кристаллов. Монокристаллы  $\text{LiNbO}_3$  стехиометрического ( $\text{Li}/\text{Nb}=1$ ) и близкого к нему составов, полученные по технологии HTTSSG (High Temperature Top Seeded Solution Growth), а также монокристаллы, сильно легированные «нефотопрефрактивными» катионами  $\text{Zn}^{2+}$  и  $\text{Mg}^{2+}$  с концентрацией, близкой к пороговому значению и выше его, имеют существенные преимущества для разработки материалов преобразования оптического излучения по сравнению с конгруэнтным кристаллом ввиду наличия у них гораздо более низкого коэрцитивного поля ( $\approx 2.3$  и  $\approx 23$  кВ/см, соответственно). Причем катионы  $\text{Zn}^{2+}$ , по сравнению с катионами  $\text{Mg}^{2+}$ , оказывают более плавное регулирующее воздействие на состояние дефектной структуры и физические характеристики кристалла  $\text{LiNbO}_3$ .

Несмотря на то, что монокристаллы  $\text{LiNbO}_3$  используются в промышленности уже более 60 лет, до сих пор существуют серьёзные и нерешенные фундаментальные и технологические проблемы получения стехиометрических и сильно легированных монокристаллов  $\text{LiNbO}_3$  высокой композиционной однородности, требующие детального изучения особенностей состояния их дефектной структуры в тесной взаимосвязи с особенностями технологий подготовки прекурсоров, синтеза шихты и выращивания монокристаллов. В частности, по технологии HTTSSG невозможно получать крупногабаритные кристаллы. Большим недостатком легирования кристаллов металлическими катионами является наличие концентрационных порогов и областей различной композиционной однородности. Кроме того, существенное снижение эффекта фотопрефракции достигается лишь при высоких (несколько мас. %) концентрациях легирующих «нефотопрефрактивных» металлических катионов, близких к пороговым значениям и выше их. Указанные особенности легирования приводят к сильному возрастанию композиционной неоднородности, к наличию механических напряжений в кристалле, к существенному снижению оптического качества кристалла  $\text{LiNbO}_3$ , особенно вблизи концентрационных порогов. В этой связи актуальным является выявление концентрационных областей максимального композиционного и структурного упорядочения легированных монокристаллов, а также поиск альтернативных путей создания высокосовершенных монокристаллов высокой композиционной однородности с максимально низкими эффектом фотопрефракции и коэрцитивным полем.

Одним из таких альтернативных путей является совершенно новый подход к получению высокосовершенных монокристаллов  $\text{LiNbO}_3$  для приложений в оптике, заключающийся в использовании в технологии шихты и монокристаллов оксидов химически активных неметаллических элементов (в частности,  $\text{B}_2\text{O}_3$ ), предложенный и разрабатываемый в лаборатории материалов электронной техники ИХТРЭМС КНИЦ РАН.

**Степень разработанности темы исследования.** В настоящее время в литературе отсутствуют необходимые для разработки технологий монокристаллов исследования композиционной однородности и физических свойств многих сильно легированных монокристаллов  $\text{LiNbO}_3$  разного состава, в том числе и монокристаллов  $\text{LiNbO}_3:\text{Zn}$ , выполненные с малым ( $<0.5$  мас. %) концентрационным шагом, необходимые для выявления концентрационных участков кристаллов максимальной композиционной однородности. Единичные исследования в этом направлении обсуждены в работе [1].

Неметаллические катионы бора, обладающие гораздо меньшим ионными радиусом, чем катионы металлов, и отличными от металлов механизмами химической связи, неспособны локализоваться в октаэдрических пустотах  $O_6$  структуры, как кислородно-октаэдрической пятиокиси ниobia  $Nb_2O_5$  (прекурсор для шихты ниобата лития), так и кристалла  $LiNbO_3$ . По этой причине в литературе не проводились исследования влияния элемента бора на структуру и физические характеристики монокристаллов  $LiNbO_3$ . Однако есть немногочисленные работы, посвящённые изучению особенностей расплава системы  $Li_2O-Nb_2O_5-B_2O_3$  [2], а также исследованиям физико-химических свойств двойных фазовых систем  $Li_2O-Nb_2O_5$  и  $Li_2O-B_2O_3$  [3, 4]. Химически активные элементы способны существенно влиять на ход химических реакций, как в расплаве, так и при синтезе прекурсоров и шихты ниобата лития. Кроме того, как активные комплексообразователи, они способны в расплаве ниобата лития образовывать электрохимически активные комплексы, изменяющие структуру и свойства расплава, а следовательно, изменять особенности структуры (прежде всего состояние дефектности) и физические характеристики кристалла. Есть также основания полагать, что катионы бора способны встраиваться в тетраэдрические пустоты  $O_4$  структуры кристалла  $LiNbO_3$ , оказывая влияние на длины связей  $\langle O-O \rangle$  и  $\langle Me-O \rangle$  ( $Me - Li, Nb$ , легирующий элемент) и изменения геометрию кислородно-октаэдрических кластеров  $MeO_6$ , ответственных за сегнетоэлектрические и нелинейно-оптические свойства кристалла.

Таким образом, оба направления диссертационной работы являются новыми, особенно в технологическом плане, и в литературе практически не разработаны.

**Цель работы:** Выяснить влияние легирующих добавок цинка и бора в широком диапазоне концентраций и особенностей технологий легирования на состояние дефектной структуры, композиционную однородность и оптические свойства кристаллов  $LiNbO_3:Zn$  и  $LiNbO_3:B$ .

**Для достижения поставленной цели необходимо решить следующие задачи:**

1. Изучить физико-химические особенности системы  $Li_2O-Nb_2O_5-ZnO$  и структурные особенности монокристаллов  $LiNbO_3$ , легированных цинком в широком диапазоне концентраций (0.04-5.84 мол. %  $ZnO$  в кристалле). Получить информацию о структурных особенностях и оптических свойствах кристаллов  $LiNbO_3:Zn$  во взаимосвязи с особенностями системы  $Li_2O-Nb_2O_5-ZnO$ , необходимую для разработки технологий получения композиционно однородных монокристаллов. Определить оптимальные концентрационные области и отдельные составы легирующих катионов цинка, соответствующие максимальной композиционной однородности и наиболее низкому эффекту фоторефракции кристаллов  $LiNbO_3:Zn$ .

2. Изучить, используя литературные данные, физико-химические особенности системы  $Li_2O-Nb_2O_5-B_2O_3$  и обобщить многофакторное воздействие химически активного неметаллического элемента бора на систему кристалл-расплав.

3. Исследовать особенности локализации катионов бора в структуре кристаллов  $LiNbO_3:B$  (полученных по разным технологиям легирования) и влияние бора на композиционную однородность, состояние дефектности и фоторефрактивные свойства кристалла. В связи с тем, что прямыми экспериментальными методами исследования структуры вещества невозможно определить особенности локализации следовых ( $<10^4$  мас. %) количеств катионов бора в структуре кристалла  $LiNbO_3$ , применить модельные расчеты для определения особенностей внедрения катионов бора в структуру кристалла ниобата лития. Выяснить влияние катионов бора на геометрию кислородно-октаэдрических кластеров  $MeO_6$ , ответственных за сегнетоэлектрические и нелинейно-оптические свойства кристалла.

4. Выполнить сравнительные исследования структуры, уделив особое внимание состоянию её дефектности, монокристаллов  $LiNbO_3:B$ , полученных по технологии прямого твёрдофазного легирования оксидом бора ( $B_2O_3$ ) и борной кислотой ( $H_3BO_3$ ), а также монокристалла  $LiNbO_3:B$ , полученного по технологии гомогенного легирования с использованием прекурсора  $Nb_2O_5:B$ .

5. Создать экспериментальную установку и разработать методику определения фотоэлектрических полей (фотовольтаического и диффузионного) в исследованных кристаллах по параметрам индикатрисы фотоиндуцированного рассеяния света.

6. Обеспечить сопровождение технологий получения композиционно-однородных кристаллов  $\text{LiNbO}_3:\text{Zn}$  и  $\text{LiNbO}_3:\text{B}$ , разрабатываемых в ИХТРЭМС КНЦ РАН, современными надёжными методами исследования состояния их дефектной структуры и оптических свойств.

**В качестве объектов исследования были использованы следующие монокристаллы ниобата лития, полученные по разным технологиям:**

1. Кристаллы  $\text{LiNbO}_3:\text{Zn}(0.04\text{--}5.84$  мол. %  $\text{ZnO}$  в кристалле), выращенные из расплава конгруэнтного состава ( $R=[\text{Li}]/[\text{Nb}]=0.946$ ) с применением технологии прямого легирования расплава. При этом серия кристаллов  $\text{LiNbO}_3:\text{Zn}(0.04, 0.07, 1.19, 1.39$  и  $2.01$  мол. %  $\text{ZnO}$  в кристалле) была получена из шихты, содержащей заданную концентрацию  $\text{Zn}$  для каждого кристалла. Серия кристаллов  $\text{LiNbO}_3:\text{Zn}(3.43, 3.95, 4.54, 4.68, 4.76, 5.07, 5.19^{\text{II}}, 5.19^{\text{III}}$  и  $5.84$  мол. %  $\text{ZnO}$  в кристалле) была получена с применением технологии выращивания кристаллов из одного тигля, в которой выращивание каждого последующего кристалла из серии включало предварительную дозагрузку необходимого количества шихты конгруэнтного состава и легирующей примеси ( $\text{ZnO}$ ) в тигель.

2. Кристаллы  $\text{LiNbO}_3:\text{B}$ , выращенные из расплава конгруэнтного состава с применением флюса  $\text{B}_2\text{O}_3$ . При этом кристаллы  $\text{LiNbO}_3:\text{B}(0.55, 0.69$  и  $0.83$  мол. %  $\text{B}_2\text{O}_3$  в шихте) были получены по технологии прямого твёрдофазного легирования оксидом бора ( $\text{B}_2\text{O}_3$ ). Кристаллы  $\text{LiNbO}_3:\text{B}(0.547$  и  $1.24$  мол. %  $\text{B}_2\text{O}_3$  в шихте) были получены по технологии прямого твёрдофазного легирования борной кислотой ( $\text{H}_3\text{BO}_3$ ). Кристалл  $\text{LiNbO}_3:\text{B}(0.02$  мол. %  $\text{B}_2\text{O}_3$  в шихте) был выращен из шихты конгруэнтного состава, полученной с использованием гомогенно легированного прекурсора  $\text{Nb}_2\text{O}_5:\text{B}$ .

3. В качестве эталонных кристаллов сравнения были использованы: номинально чистый монокристалл ниобата лития стехиометрического состава ( $\text{LiNbO}_3_{\text{стех}}$  ( $R=[\text{Li}]/[\text{Nb}]=1$ )), выращенный из расплава, содержащего  $58.6$  мол. %  $\text{Li}_2\text{O}$ ; номинально чистый монокристалл  $\text{LiNbO}_3_{\text{стех}}$  ( $5.5$  мас. %  $\text{K}_2\text{O}$ ,  $R \approx 1$ ) с составом, близким к стехиометрическому, выращенный по технологии HTTSSG (High Temperature Top Seeded Solution Growth) из расплава конгруэнтного состава ( $R=0.946$ ) с добавлением  $5.5$  мас. % флюса  $\text{K}_2\text{O}$ ; номинально чистый монокристалл ниобата лития конгруэнтного состава ( $\text{LiNbO}_3_{\text{конг}}$  ( $R=0.946$ )), выращенный из расплава конгруэнтного состава ( $R=0.946$ ).

#### **Научная новизна работы:**

1. Впервые установлено, что количество изломов в концентрационном поведении ширин некоторых линий спектров КРС (пять изломов при  $1.39, 3.43, 3.95, 5.19^{\text{II}}$  и  $5.19^{\text{III}}$  мол. %  $\text{ZnO}$  в кристалле) существенно превышает количество порогов (два порога при  $3.95$  и  $5.19^{\text{II}}$  мол. %  $\text{ZnO}$  в кристалле), известных из литературных данных. Этот факт свидетельствует о наличии в кристаллах  $\text{LiNbO}_3:\text{Zn}$ , как минимум, ещё трёх слабовыраженных порогов при  $1.39, 3.43$  и  $5.19^{\text{III}}$  мол. %  $\text{ZnO}$  в кристалле.

2. Впервые исследованы особенности дефектной структуры и физических характеристик монокристаллов ниобата лития, легированных бором ( $\text{LiNbO}_3:\text{B}$ ). Показано, что вне зависимости от технологии введения катионов бора в шихту конгруэнтного состава (с использованием прямого твёрдофазного легирования ( $\text{B}_2\text{O}_3, \text{H}_3\text{BO}_3$ ) или методом гомогенного легирования ( $\text{H}_3\text{BO}_3$ )) неметаллический элемент бор входит в структуру кристалла только в следовых количествах ( $\sim 4 \cdot 10^{-4}$  мол. %).

3. Впервые установлено, что катионы бора  $\text{B}^{3+}$  в следовых количествах ( $\sim 4 \cdot 10^{-4}$  мол. %) встраиваются в тетраэдрические пустоты структуры кристаллов  $\text{LiNbO}_3$ , локализуясь в составе группы  $[\text{BO}_3]^{3-}$  в гранях тетраэдрических пустот, граничащих с вакантными или литиевыми кислородными октаэдрами  $\text{O}_6$ , либо в кислородной плоскости  $\text{O}_3$ , общей для смежных тетраэдров. Это приводит к заметному изменению длин связей  $\langle\text{O}-\text{O}\rangle$  и  $\langle\text{Me}-\text{O}\rangle$

кислородно-октаэдрических кластеров  $\text{MeO}_6$ , искажению кислородного каркаса кристалла, увеличению величины  $R=[\text{Li}]/[\text{Nb}]$  и к повышению упорядочения структурных единиц катионной подрешётки кристаллов. Указанные особенности локализации катионов бора изменяют поляризумость кислородно-октаэдрических кластеров  $\text{MeO}_6$ , определяющих нелинейно-оптические свойства кристалла. Кроме того, следовые количества катионов бора привносят избыточный положительный заряд в структуру кристаллов  $\text{LiNbO}_3:\text{B}$ , тем самым обеспечивая дополнительное снижение концентрации дефектов  $\text{Nb}_{\text{Li}}$ , являющихся глубокими ловушками электронов, ответственных за эффект фоторефракции.

4. Установлено, что монокристалл  $\text{LiNbO}_3:\text{B}$ (1.24 мол. %  $\text{B}_2\text{O}_3$  в шихте), близкий по составу к стехиометрическому кристаллу, полученный по технологии прямого твёрдофазного легирования шихты конгруэнтного состава борной кислотой, наиболее композиционно и структурно однороден и обладает более высоким оптическим качеством, по сравнению с кристаллами  $\text{LiNbO}_3:\text{B}$ (0.55, 0.69 и 0.83 мол. %  $\text{B}_2\text{O}_3$  в шихте), полученными по технологии прямого твёрдофазного легирования шихты конгруэнтного состава оксидом бора. Впервые показано, что кристаллы  $\text{LiNbO}_3:\text{B}$ (0.55, 0.69, 0.83 и 1.24 мол. %  $\text{B}_2\text{O}_3$  в шихте) отличаются более низким эффектом фоторефракции, по сравнению с кристаллом  $\text{LiNbO}_{3\text{стех}}$ , и более близким к таковому для кристалла  $\text{LiNbO}_{3\text{конг}}$ .

5. На основе данных полнопрофильного рентгеноструктурного анализа кристаллов  $\text{LiNbO}_3:\text{B}$ (0.02 и 0.547 мол. %  $\text{B}_2\text{O}_3$  в шихте), полученных по технологиям гомогенного легирования прекурсора  $\text{Nb}_2\text{O}_5:\text{B}$  и прямого твёрдофазного легирования шихты конгруэнтного состава борной кислотой, установлено, что технология гомогенного легирования позволяет получить кристаллы ниобата лития, обладающие структурой более совершенной и более близкой к структуре кристалла стехиометрического состава  $\text{LiNbO}_{3\text{стех}}$ (5.5 мас. %  $\text{K}_2\text{O}$ ), полученного по технологии HTTSSG, чем технология прямого твёрдофазного легирования борной кислотой.

#### **Теоретическая и практическая значимость работы:**

1. Впервые, по спектрам КРС, обнаружены слабовыраженные концентрационные пороги в кристаллах  $\text{LiNbO}_3:\text{Zn}$ , полученных по технологии прямого легирования расплава, при 1.39, 3.43 и  $5.19^{\text{III}}$  мол. %  $\text{ZnO}$  в кристалле. Выявленные концентрационные пороги позволяют более точно определить оптимальные концентрационные области легирующих катионов цинка, соответствующие высокой композиционной однородности и наиболее низкому эффекту фоторефракции кристаллов  $\text{LiNbO}_3:\text{Zn}$ .

2. Предложен новый способ легирования монокристаллов  $\text{LiNbO}_3$  путём внедрения следовых количеств ( $\sim 4 \cdot 10^{-4}$  мол. %) неметаллического элемента бора в тетраэдрические  $\text{O}_4$  пустоты кристалла. До этого легирование монокристаллов  $\text{LiNbO}_3$  осуществлялось только путём внедрения катионов металлов в октаэдрические  $\text{O}_6$  пустоты кристалла. Способ позволяет получать монокристаллы  $\text{LiNbO}_3:\text{B}$ , обладающие следующими преимуществами по сравнению с номинально чистыми и сильнолегированными монокристаллами: высокой композиционной однородностью; упорядочением структурных единиц, близким к упорядочению в кристалле стехиометрического состава; низким эффектом фоторефракции, близким к эффекту в конгруэнтном кристалле; низким коэрцитивным полем. Получен патент на изобретение.

3. Впервые исследованы, полученные по разным технологиям, монокристаллы  $\text{LiNbO}_3:\text{B}$  разного состава: кристаллы  $\text{LiNbO}_3:\text{B}$ (0.55, 0.69 и 0.83 мол. %  $\text{B}_2\text{O}_3$  в шихте), полученные по технологии прямого твёрдофазного легирования шихты конгруэнтного состава оксидом бора; кристаллы  $\text{LiNbO}_3:\text{B}$ (0.547 и 1.24 мол. %  $\text{B}_2\text{O}_3$  в шихте), полученные по технологии прямого твёрдофазного легирования шихты конгруэнтного состава борной кислотой; кристалл  $\text{LiNbO}_3:\text{B}$ (0.02 мол. %  $\text{B}_2\text{O}_3$  в шихте), полученный по технологии гомогенного легирования с использованием прекурсора  $\text{Nb}_2\text{O}_5:\text{B}$ .

4. Показано, что технология использования химически активного элемента бора для получения близких по составу к стехиометрическим композиционно однородных кристаллов  $\text{LiNbO}_3:\text{B}$ , среди других технологий, является наиболее оптимальной с точки зрения временных и материальных затрат для получения оптически совершенных композиционно однородных крупногабаритных монокристаллов ниобата лития для нелинейной, лазерной и интегральной оптики.

5. Результаты работы используются в лаборатории материалов электронной техники ИХТРЭМС КНЦ РАН при отработке технологий монокристаллов, а также в качестве учебного материала при чтении курсов лекций «Технология неорганических веществ» и «Фундаментальные научные основы технологии монокристаллических и керамических материалов электронной техники» в Мурманском государственном техническом университете при подготовке магистров по специальности «Химия» и аспирантов по специальности «Технология неорганических веществ».

***Основные положения, выносимые на защиту:***

1. В кристаллах  $\text{LiNbO}_3:\text{Zn}(0.04\text{--}5.84 \text{ мол. \% ZnO в кристалле})$ , помимо известных из литературных данных концентрационных порогов при 3.95 и 5.19<sup>II</sup> мол. % ZnO, впервые обнаружены ещё три слабо выраженных порога при 1.39, 3.43 и 5.19<sup>III</sup> мол. % ZnO в кристалле. При этом кристаллы  $\text{LiNbO}_3:\text{Zn}(3.95 \text{ и } 4.54 \text{ мол. \% ZnO в кристалле})$ , полученные по технологии прямого легирования расплава методом выращивания кристаллов из одного тигля, отличаются высокой композиционной и оптической однородностью и практически полным отсутствием дефектов  $\text{Nb}_{\text{Li}}$ , являющихся глубокими ловушками электронов, ответственными за эффект фоторефракции.

2. Химически активный флюс  $\text{B}_2\text{O}_3$  оказывает многоэтапное и комплексное влияние на структурирование расплава системы  $\text{Li}_2\text{O}-\text{Nb}_2\text{O}_5-\text{B}_2\text{O}_3$  и состояние дефектной структуры кристаллов  $\text{LiNbO}_3:\text{B}$ . В расплаве конгруэнтного состава ( $R=[\text{Li}]/[\text{Nb}]=0.946$ ) использование химически активного флюса  $\text{B}_2\text{O}_3$  способствует выравниванию коэффициентов распределения лития ( $K_{\text{Li}}$ ) и ниobia ( $K_{\text{Nb}}$ ) в процессе роста кристаллов путём комплексования избыточного по составу ниobia, что приводит к повышению стехиометрии кристалла  $\text{LiNbO}_3:\text{B}$ , а также к снижению концентрации следовых количеств регламентируемых катионных многозарядных примесей в процессе роста кристалла путём образования боратов примесных металлов (Al, Ca, Pb и др.).

3. Экспериментальные и расчетные доказательства того, что катионы  $\text{B}^{3+}$  в следовых количествах ( $\sim 4 \cdot 10^{-4}$  мол. %) встраиваются в тетраэдрические пустоты структуры кристаллов  $\text{LiNbO}_3$ . При этом  $\text{B}^{3+}$  локализуется в составе группы  $[\text{BO}_3]^{3-}$  в гранях тетраэдрических пустот, граничащих с вакантными или литиевыми кислородными октаэдрами  $\text{O}_6$ , либо в кислородной плоскости  $\text{O}_3$ , общей для смежных тетраэдров. Это приводит к заметному изменению длин связей  $\langle \text{O-O} \rangle$  и  $\langle \text{Me-O} \rangle$  кислородно-октаэдрических кластеров  $\text{MeO}_6$ , искажению кислородного каркаса кристалла, увеличению  $R=[\text{Li}]/[\text{Nb}]$  и к повышению упорядочения структурных единиц катионной подрешётки кристаллов. Указанные особенности локализации катионов бора изменяют поляризацию кислородно-октаэдрических кластеров  $\text{MeO}_6$ , определяющих нелинейно-оптические свойства кристалла. Снижение концентрации дефектов  $\text{Nb}_{\text{Li}}$  в кристаллах  $\text{LiNbO}_3:\text{B}$ , как минимум, на количество катионов  $\text{B}^{3+}(\sim 4 \cdot 10^{-4}$  мол. %), встроившихся в грани тетраэдрических пустот структуры кристаллов в составе группы  $[\text{BO}_3]^{3-}$ , достигается избыточным положительным зарядом катионов бора, привнесённым в кислородно-октаэдрическую структуру кристалла.

4. Способ выращивания номинально чистых близких по составу к стехиометрическим кристаллов  $\text{LiNbO}_3:\text{B}$  из расплава конгруэнтного состава ( $R=[\text{Li}]/[\text{Nb}]=0.946$ ) с применением химически активного флюса  $\text{B}_2\text{O}_3$  является аналогом метода получения близких по составу к стехиометрическим монокристаллов с использованием флюса  $\text{K}_2\text{O}$  (технология HTTSSG). Применение флюса  $\text{B}_2\text{O}_3$  позволяет повышать стехиометрию и получать крупногабаритные

кристаллы, обладающие повышенным сопротивлением повреждению лазерным излучением и пониженной концентрацией структурных дефектов  $\text{Nb}_{\text{Li}}$ , по сравнению с кристаллами  $\text{LiNbO}_3$ <sub>конг</sub>. Кристаллы  $\text{LiNbO}_3:\text{B}$  по упорядочению структурных единиц катионной подрешётки приближаются к кристаллам  $\text{LiNbO}_3$ <sub>стех</sub>.

5. Применение технологии прямого твёрдофазного легирования борной кислотой, в отличие от технологии прямого твёрдофазного легирования оксидом бора, позволяет получить монокристаллы  $\text{LiNbO}_3:\text{B}$ , обладающие более высоким сопротивлением повреждению лазерным излучением. При этом технология с использованием гомогенно легированного прекурсора  $\text{Nb}_2\text{O}_5:\text{B}$  борной кислотой, по сравнению с технологией прямого твёрдофазного легирования, позволяет получать кристаллы, обладающие более совершенной кристаллической структурой, близкой к таковой для кристалла стехиометрического состава.

### ***Методы исследования***

Осуществление поставленных целей диссертационной работы реализовано с применением комплекса взаимодополняющих и надёжно зарекомендовавших себя экспериментальных физических методов исследования: спектроскопии КРС, ИК-спектроскопии поглощения, рентгеноструктурного анализа, фотоиндуцированного рассеяния света, лазерной коноскопии, оптической спектроскопии, а также с применением модельных расчётов структуры кристалла.

### ***Достоверность полученных результатов***

Достоверность представленных в диссертации результатов обусловлена использованием запатентованных [5, 6], а также опубликованных в ведущих отечественных и зарубежных научных журналах технологий синтеза шихты и монокристаллов ниобата лития (обзор дан в [1]), разработанных в лаборатории материалов электронной техники ИХТРЭМС КНЦ РАН. Высокая надёжность полученных данных и их непротиворечивость результатам аналогичных исследований других авторов, опубликованных в литературе, обусловлена применением аттестованного современного оборудования: установки для выращивания монокристаллов «Кристалл-2», печи сопротивления «Лантан» для отжига и монодоменизации выращенных кристаллов, спектрометра T64000 фирмы Horiba Jobin-Yvon, снабжённого конфокальным микроскопом, для регистрации спектров КРС, спектрометра IFS 66 v/s фирмы Bruker для регистрации спектров ИК-поглощения, дифрактометра ДРОН-6 для регистрации рентгенограмм кристаллов, оригинальных установок для регистрации коноскопических картин и картин ФИРС, спектрофотометров СФ-256 УВИ и Cary 2300 для регистрации спектров оптического поглощения, высокоточных программ обработки экспериментальных данных – LabSpec 5.5, Warem Grams V. 2.03, Origin 8.1.

### ***Соответствие диссертации паспорту научной специальности***

Диссертационная работа соответствует пункту № 1 направлений исследований научной специальности 2.6.7 («Технология неорганических веществ») – «Технологические процессы получения неорганических продуктов: соли, кислоты и щёлочи, минеральные удобрения, изотопы и высокочистые неорганические продукты, катализаторы, сорбенты, неорганические препараты», пункту № 6 направлений исследований «Свойства сырья и материалов, закономерности технологических процессов для разработки, технологических расчетов, проектирования и управления химико-технологическими процессами и производствами», пункту № 8 направлений исследований «Разработка теоретических основ и установление общих закономерностей проектирования и технологий изготовления неорганических материалов», пункту № 9 направлений исследований «Разработка оптимальных структур и конструкций, а также инновационных технологий изготовления материалов с заданными потребительскими и технико-экономическими показателями для обеспечения снижения затрат на организацию их производства и повышения качества продукции».

***Апробация работы.*** Результаты исследований были представлены на более чем 30-ти научных конференциях различного уровня и направлений. Конференции, наиболее близкие к теме диссертации: «Научно-практические проблемы в области химии и химических

технологий» (Апатиты, 2015, 2016, 2017, 2018, 2019, 2020, 2021, 2022); XV-я конференция по фундаментальным проблемам опто- и микроэлектроники (Хабаровск, 2016); International Conference on «Physics and Mechanics of New Materials and Their Applications» (Индонезия, 2016; Южная Корея, 2018; Вьетнам, 2019; Япония, 2021); XX-ый Менделеевский съезд по общей и прикладной химии (Екатеринбург, 2016); Российской конференция «Комбинационное рассеяние – 90 лет исследований» (Новосибирск, 2018); XV-я Российской конференция молодых научных сотрудников и аспирантов «Физико-химия и технология неорганических материалов» (Москва, 2018); Международная научно-практическая конференция «Химия и химическая технология в XXI веке» (Томск, 2019, 2021); Fifth Asian School-Conference on Physics and Technology of Nanostructured Materials (Владивосток, 2020); Международная конференция по фотонике и информационной оптике (Москва, 2020, 2021, 2022); XXII-я Всероссийская конференция по физике сегнетоэлектриков (Екатеринбург, 2021).

#### ***Связь работы с государственными программами и НИР***

Работа выполнена в рамках темы НИОКР АААА-А18-118022190125-2 (2018-2020 гг.) и 121072300166-7 (2021 г.), а также при финансовой поддержке РФФИ (проекты № 18-03-00231 и № 19-33-90025 «Аспиранты»).

**Личный вклад автора.** Исследования выполнены автором в тесном и активном сотрудничестве с коллективом лаборатории материалов электронной техники ИХТРЭМС КНЦ РАН и опубликованы в соавторстве с ними. Большинство результатов получены самим автором или при его непосредственном и активном участии. Автор принимал участие в постановке экспериментов, в получении экспериментальных данных, в анализе и обсуждении результатов исследований, в корректировке поставленных задач и путей их решения. Обработка и интерпретация спектров КРС и ИК-спектров поглощения выполнена совместно с научным руководителем. Проведение экспериментов по ФИРС, лазерной коноскопии, оптической спектроскопии, рентгеноструктурному анализу, обсуждение, обработка и представление полученных результатов выполнено в тесном сотрудничестве с научным руководителем и сотрудниками лаборатории материалов электронной техники ИХТРЭМС КНЦ РАН. Самостоятельно выполнен расчёт изобарно-изотермического потенциала образования боратов регламентируемых катионных примесей в расплаве конгруэнтного состава. Модельные расчёты особенностей локализации следовых количеств катионов  $B^{3+}$  в структуре кристаллов ниобата лития и их влияние на состояние дефектной структуры кристалла выполнено автором самостоятельно и впервые.

**Публикации.** Результаты исследований опубликованы в работах [A1-A24]. В изданиях, индексируемых в базах данных Web of Science и Scopus, опубликованы работы [A1-A6, A8-A16]. В изданиях, рекомендованных ВАК для публикации основных результатов кандидатских и докторских диссертаций, опубликованы работы [A1, A3-A16]. Многочисленные тезисы докладов и материалы конференций в число перечисленных работ не включены. Получен патент на изобретение [A24].

**Структура и объём работы.** Диссертация состоит из списка сокращений, введения, 4-х глав, основных выводов, списка цитируемой литературы и 4-х приложений. Работа изложена на 203 страницах, включая 47 рисунков, 14 таблиц, 270 литературных источников и 4 приложения, включающих в себя 16 рисунков и 6 таблиц.

## **ОСНОВНОЕ СОДЕРЖАНИЕ РАБОТЫ**

**Во введении** дана общая характеристика работы, обоснована актуальность темы, определены цели и поставлены задачи исследования. Представлена характеристика объектов исследования, научная новизна, практическая значимость, сформулированы основные положения, выносимые на защиту. Приведены сведения об апробации работы, личном вкладе автора, структуре и объёме работы.

**В первой главе** выполнен литературный обзор. В разделах 1.1-1.3 рассмотрены существующие, а также разработанные в ИХТРЭМС КНЦ РАН [1, 5, 6], технологии прекурсоров и гранулированной шихты номинально чистых и легированных металлическими (Mg, Zn и др.) и неметаллическим (B) элементами монокристаллов ниобата лития. В разделе 1.4 рассмотрена тройная фазовая диаграмма системы  $\text{Li}_2\text{O}-\text{K}_2\text{O}-\text{Nb}_2\text{O}_5$  и выполнен анализ технологии HTTSSG получения кристаллов ниобата лития стехиометрического и близкого к нему составов. В разделах 1.5-1.7 проанализированы двойные ( $\text{Li}_2\text{O}-\text{Nb}_2\text{O}_5$ ,  $\text{Li}_2\text{O}-\text{B}_2\text{O}_3$ ) и тройные ( $\text{Li}_2\text{O}-\text{Nb}_2\text{O}_5-\text{ZnO}$  и  $\text{Li}_2\text{O}-\text{Nb}_2\text{O}_5-\text{B}_2\text{O}_3$ ) фазовые диаграммы. Состав и особенности строения расплава ниобата лития представлены в разделе 1.8. Показано, что бор оказывает многофакторное воздействие на структуру расплава, его физико-химические свойства и, как следствие, на структуру и практически значимые физические характеристики кристалла ниобата лития. Проанализированы возможности создания и потенциальные преимущества (по сравнению с технологиями легирования металлами) технологии легирования кристалла неметаллическим элементом бором. Раздел 1.9 посвящён особенностям дефектной структуры кристалла ниобата лития как кислородно-октаэдрической фазы переменного состава. В разделе 1.10 описаны вакансационные модели точечных дефектов катионной подрешётки кристалла ниобата лития, дефекты микро-, мезо- и макроуровней в кристаллах разного состава, в том числе в кристаллах, выращенных с применением химически активного флюса  $\text{B}_2\text{O}_3$ . В разделе 1.11 рассмотрены особенности порогового вхождения легирующих катионов металлов в кислородно-октаэдрическую структуру кристалла ниобата лития и их влияние на упорядочение структурных единиц катионной подрешётки кристалла.

Некоторые результаты дискуссионного характера, обсуждаемые в первой главе, опубликованы в работах [A1, A5, A15, A16, A18-A23].

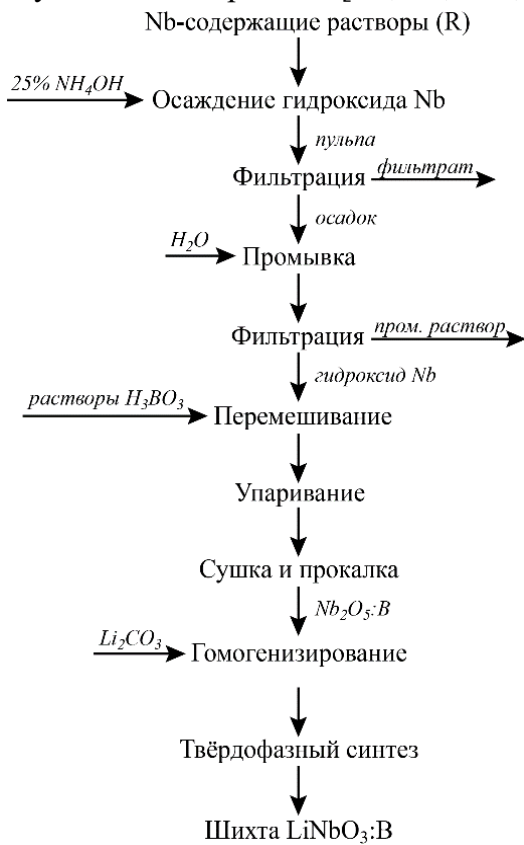


Рис. 1 – Технологическая схема получения твердого прекурсора  $\text{Nb}_2\text{O}_5:\text{B}(0.0042 \text{ мас. \% B})$  и шихты  $\text{LiNbO}_3:\text{B}(0.02 \text{ мол. \% B}_2\text{O}_3 \text{ в шихте})$  [7]

**Во второй главе** описаны технологии получения монокристаллических объектов для исследований и методы их исследований. Раздел 2.1 посвящён описанию синтеза шихты для выращивания кристаллов  $\text{LiNbO}_3$ <sub>стех</sub>,  $\text{LiNbO}_3$ <sub>конг</sub>, а также кристаллов  $\text{LiNbO}_3:\text{Zn}(0.04-5.84 \text{ мол. \% ZnO в кристалле})$  и  $\text{LiNbO}_3:\text{B}(0.02-1.24 \text{ мол. \% B}_2\text{O}_3 \text{ в шихте})$ . Приведена технологическая схема получения борсодержащей шихты методом гомогенного легирования, рис. 1. Особенности выращивания кристаллов  $\text{LiNbO}_3$ <sub>стех</sub>,  $\text{LiNbO}_3$ <sub>конг</sub> и легированных кристаллов в зависимости от типа легирующей примеси и её концентрации приведены в разделе 2.2. Описание подготовки выращенных кристаллов ниобата лития разного состава для исследований приведено в разделе 2.3. Раздел 2.4 посвящен описанию аппаратуры и комплекса методов исследования композиционной однородности, особенностей структуры и оптических свойств монокристаллов ниобата лития разного состава и генезиса: спектроскопии

КРС, ИК-спектроскопии поглощения, лазерной коноскопии, ФИРС, оптической спектроскопии и рентгеноструктурного анализа. Здесь же приведено описание методики определения фотоэлектрических полей (фотовольтаического и диффузионного) по параметрам индикатрисы ФИРС.

**Третья глава** посвящена описанию исследований особенностей формирования дефектной структуры и оптических свойств серии кристаллов  $\text{LiNbO}_3:\text{Zn}$ (0.04-5.84 мол. %  $\text{ZnO}$  в кристалле), полученных по технологии прямого легирования расплава. В разделе 3.1 представлены результаты анализа композиционной однородности и оценочного эффективного коэффициента распределения ( $K_{\text{оэф}}$ ) кристаллов  $\text{LiNbO}_3:\text{Zn}$ (3.43-5.84 мол. %  $\text{ZnO}$  в кристалле), полученных методом прямого легирования расплава по технологии выращивания из одного тигля. Согласно данным работ [8, А3], концентрационная зависимость  $K_{\text{оэф}}$  имеет три явно выраженных участка: 4.02-5.38(I), 5.38-6.76(II) и 6.76-8.91(III) мол. %  $\text{ZnO}$  в расплаве. При этом, несмотря на существенно отличный от единицы  $K_{\text{оэф}}$  на участке II, кристаллы  $\text{LiNbO}_3:\text{Zn}$ , выращенные из расплавов, соответствующих I и II концентрационным участкам (до 6.76 мол. %  $\text{ZnO}$  в расплаве), отличаются высокой композиционной однородностью по сравнению с кристаллами, выращенными из расплавов, соответствующими III концентрационному участку. В разделе 3.2 описаны исследования методом спектроскопии КРС особенностей упорядочения структурных единиц и эффектов проявления концентрационных порогов в кристаллах  $\text{LiNbO}_3:\text{Zn}$ (0.04-5.84 мол. %  $\text{ZnO}$  в кристалле). При этом минимум в диапазоне (0.07-1.19 мол. %  $\text{ZnO}$  в кристалле) в концентрационном поведении ширин линий с частотами 254 и 274  $\text{cm}^{-1}$ , соответствующих полносимметричным  $A_1(\text{TO})$  колебаниям катионов Nb и Li вдоль полярной оси, однозначно свидетельствует о существовании области повышенного упорядочения основных, примесных катионов и вакансий вдоль полярной оси (рис. 2).

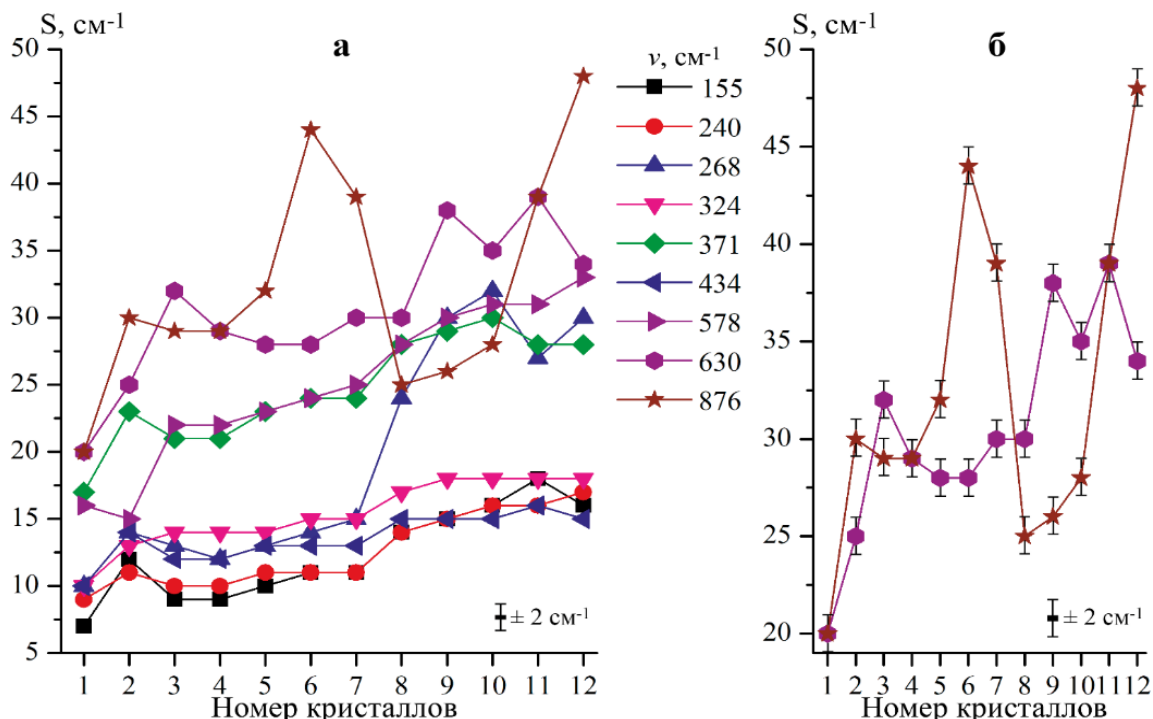


Рис. 2 – Концентрационные зависимости ширин ( $S, \text{cm}^{-1}$ ) некоторых линий (а) и линий с частотами 630 и 876  $\text{cm}^{-1}$  (б), соответственно, в спектрах КРС кристаллов  $\text{LiNbO}_{3\text{стех}}(1)$ ,  $\text{LiNbO}_{3\text{конф}}(2)$  и  $\text{LiNbO}_3:\text{Zn}(0.04(3), 0.07(4), 1.19(5), 1.39(6), 2.01(7), 3.43(8), 3.95(9), 5.19^{\text{II}}(10), 5.19^{\text{III}}(11)$  и  $5.84(12)$  мол. %  $\text{ZnO}$  в кристалле), полученных по технологии прямого легирования расплава, в геометрии рассеяния  $\text{Y}(\text{ZX})\text{Y}$

Показано, что аномальное и скачкообразное вблизи концентрационных порогов при 5.38 и 6.76 мол. % ZnO в расплаве изменение ширин линий в спектрах КРС с частотами 630(A<sub>1</sub>(TO)) и 876 см<sup>-1</sup> (A<sub>1</sub>(LO)), отвечающих, соответственно, колебаниям атомов кислорода кислородных октаэдров структуры A<sub>1</sub>(TO)-типа симметрии и валентным мостиковым колебаниям атомов кислорода A<sub>1</sub>(LO)-типа симметрии (рис. 2), обусловлено изменением механизма вхождения легирующих катионов Zn в катионную подрешётку кристалла. При этом обнаружено нами количество изломов в концентрационном поведении ширин этих линий (пять изломов [A3], рис. 2) существенно превышает количество порогов (3.95 и 5.19<sup>II</sup> мол. % ZnO в кристалле), известных из литературных данных [8]. Это свидетельствует о том, что в кристаллах LiNbO<sub>3</sub>:Zn существуют ещё три слабовыраженных порога: 1.39, 3.43 и 5.19<sup>III</sup> мол. % ZnO в кристалле, рис. 2. Методами спектроскопии КРС (рис. 2) и РСА [9] показано, что структура кристаллов LiNbO<sub>3</sub>:Zn, полученных по технологии прямого легирования расплава, в области концентраций ~3.95-4.54 мол. % ZnO в кристалле, характеризуется отсутствием (как и в кристалле LiNbO<sub>3</sub><sub>стех</sub>) точечных дефектов Nb<sub>Li</sub>, являющихся наиболее глубокими электронными ловушками. Однако кристалл LiNbO<sub>3</sub><sub>стех</sub> является менее совершенным: он характеризуется существенно более высоким эффектом фоторефракции и более низкой композиционной однородностью, чем кристаллы LiNbO<sub>3</sub>:Zn(3.95-4.54 мол. % ZnO в кристалле).

Результаты исследований оптического качества и эффекта фоторефракции в кристаллах LiNbO<sub>3</sub>:Zn(0.04-5.84 мол. % ZnO в кристалле), полученных по технологии прямого легирования расплава, методами лазерной коноскопии и ФИРС приведены в разделах 3.3 и 3.4. В разделе 3.5 представлены рассчитанные по параметрам индикатрисы ФИРС величины фотовольтаического ( $E_{pv}$ ) и диффузионного ( $E_D$ ) полей, а также значения ширины запрещённой зоны и края оптического пропускания кристаллов LiNbO<sub>3</sub><sub>стех</sub>, LiNbO<sub>3</sub><sub>конг</sub> и кристаллов LiNbO<sub>3</sub>:Zn(0.04-2.01 мол. % ZnO в кристалле), полученных по технологии прямого легирования расплава. Показано, что вне зависимости от длины волны возбуждающего лазерного излучения наибольший вклад в раскрытие индикатрисы ФИРС и, соответственно, в эффект фоторефракции для монокристалла LiNbO<sub>3</sub><sub>стех</sub> вносит диффузионный, а для кристаллов LiNbO<sub>3</sub><sub>конг</sub> и LiNbO<sub>3</sub>:Zn(0.04-2.01 мол. % ZnO в кристалле) – фотовольтаический механизм. При этом кристалл LiNbO<sub>3</sub>:Zn(2.01 мол. % ZnO в кристалле) обладает наименьшим угловым распределением интенсивности рассеянного излучения (минимальным эффектом фоторефракции).

Результаты исследований, представленные в третьей главе, опубликованы в работах [A1, A3, A4, A17].

**В четвёртой главе** описаны исследования влияния технологий легирования на композиционную однородность, оптические свойства и состояние дефектности структуры двух серий монокристаллов: LiNbO<sub>3</sub>:B(0.55, 0.69 и 0.83 мол. % B<sub>2</sub>O<sub>3</sub> в шихте) и LiNbO<sub>3</sub>:B(0.547 и 1.24 мол. % B<sub>2</sub>O<sub>3</sub> в шихте), полученных, соответственно, по технологии прямого твёрдофазного легирования оксидом бора и борной кислотой, и монокристалла LiNbO<sub>3</sub>:B(0.02 мол. % B<sub>2</sub>O<sub>3</sub> в шихте), полученного по технологии гомогенного легирования с использованием прекурсора Nb<sub>2</sub>O<sub>5</sub>:B. В разделе 4.1 приведены расчёты концентрации Li<sub>2</sub>O в кристаллах LiNbO<sub>3</sub><sub>конг</sub> и LiNbO<sub>3</sub>:B(0.83 и 1.24 мол. % B<sub>2</sub>O<sub>3</sub> в шихте). Показано, что вне зависимости от выбранной технологии легирования и химического состава легирующего компонента (B<sub>2</sub>O<sub>3</sub>, H<sub>3</sub>BO<sub>3</sub>) наблюдается увеличение содержания Li<sub>2</sub>O в кристаллах LiNbO<sub>3</sub>:B(0.83 и 1.24 мол. % B<sub>2</sub>O<sub>3</sub> в шихте) по сравнению с кристаллом конгруэнтного состава: ≈49.83, 49.86 и 48.59 мол. % Li<sub>2</sub>O в кристалле, соответственно. Это свидетельствует о том, что по содержанию щелочного компонента кристаллы LiNbO<sub>3</sub>:B приближаются к кристаллу стехиометрического состава.

В разделе 4.2 представлены результаты исследований методом спектроскопии КРС серии кристаллов LiNbO<sub>3</sub>:B(0.55-1.24 мол. % B<sub>2</sub>O<sub>3</sub> в шихте) особенностей упорядочения

структурных единиц катионной подрешётки иискажений кислородно-октаэдрических кластеров  $\text{NbO}_6$ , определяющих нелинейно-оптические и сегнетоэлектрические свойства кристалла. Установлено, что для кристаллов  $\text{LiNbO}_3:\text{B}$ (0.55-0.83 мол. %  $\text{B}_2\text{O}_3$  в шихте), полученных по технологии прямого твёрдофазного легирования оксидом бора, характерно сильное уширение при увеличении концентрации бора в шихте линий с частотами 576 и 630  $\text{cm}^{-1}$ , отвечающих, соответственно, дважды вырожденным ( $E(\text{TO})$ ) и полносимметричным ( $A_1(\text{TO})$ ) колебаниям атомов кислорода кислородно-октаэдрических кластеров  $\text{NbO}_6$ , и уменьшение ширины линии с частотой 880  $\text{cm}^{-1}$ , соответствующей валентным мостиковым колебаниям атомов кислорода ( $A_1(\text{LO})$ ), рис. 3. Этот факт свидетельствует о «возмущении» кластеров  $\text{NbO}_6$  в структуре кристаллов  $\text{LiNbO}_3:\text{B}$ (0.55-0.83 мол. %  $\text{B}_2\text{O}_3$  в шихте) по сравнению с кластерами кристалла конгруэнтного состава. Однако для кристалла  $\text{LiNbO}_3:\text{B}$ (1.24 мол. %  $\text{B}_2\text{O}_3$  в шихте), полученного по технологии прямого твёрдофазного легирования борной кислотой, наблюдается противоположная ситуация: ширины линий с частотами 576 и 630  $\text{cm}^{-1}$  уменьшаются, а ширина линии с частотой 876  $\text{cm}^{-1}$ , наоборот, увеличивается (рис. 3). Таким образом, применение метода прямого твёрдофазного легирования борной кислотой позволяет получать более упорядоченные кристаллы по сравнению с технологией легирования оксидом бора. Но во всех случаях следовые количества бора заметно искажают анионный каркас кристалла.

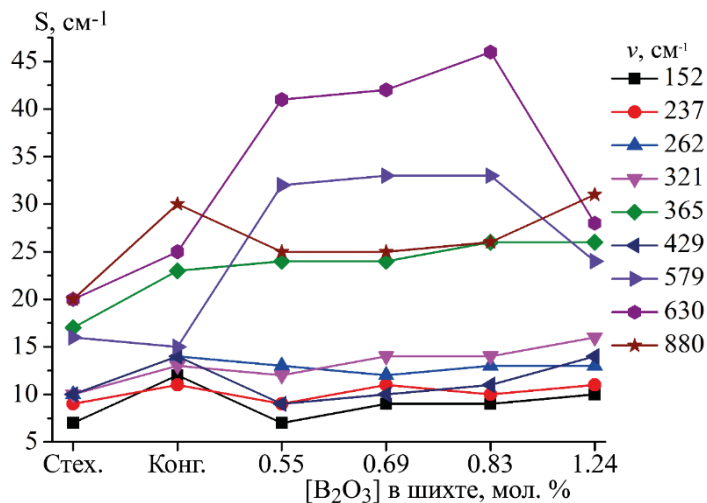


Рис. 3 – Концентрационные зависимости ширин ( $S, \text{cm}^{-1}$ ) некоторых линий в спектрах КРС кристаллов  $\text{LiNbO}_3\text{стех}$ ,  $\text{LiNbO}_3\text{конг}$  и  $\text{LiNbO}_3:\text{B}$ , полученных по технологии прямого твёрдофазного легирования шихты конгруэнтного состава оксидом бора (0.55, 0.69 и 0.83 мол. %  $\text{B}_2\text{O}_3$  в шихте) и борной кислотой (1.24 мол. %  $\text{B}_2\text{O}_3$  в шихте)

Определению края фундаментального поглощения и ширины запрещённой зоны кристаллов  $\text{LiNbO}_3:\text{B}$ (0.55 и 0.83 мол. %  $\text{B}_2\text{O}_3$  в шихте) посвящён раздел 4.3. Показано, что край поглощения кристаллов  $\text{LiNbO}_3:\text{B}$  имеет более крутой подъём (близкий к подъёму для кристалла  $\text{LiNbO}_3\text{конг}$ ) по сравнению с краем поглощения кристалла  $\text{LiNbO}_3\text{стех}$ , что указывает на большую композиционную однородность кристаллов, выращенных из борсодержащей шихты, по сравнению с кристаллом  $\text{LiNbO}_3\text{стех}$ . Из спектров поглощения была рассчитана ширина запрещённой зоны для кристаллов  $\text{LiNbO}_3\text{стех}$ ,  $\text{LiNbO}_3\text{конг}$  и  $\text{LiNbO}_3:\text{B}$ (0.55 и 0.83 мол. %  $\text{B}_2\text{O}_3$  в шихте) – 3.38, 3.78, 3.38 и 3.37 эВ, соответственно. Расчёты показали, что ширина запрещенной зоны в кристаллах  $\text{LiNbO}_3:\text{B}$  меньше ширины зоны в конгруэнтном кристалле. Это свидетельствует о большем количестве энергетических уровней в запрещенной зоне кристаллов  $\text{LiNbO}_3:\text{B}$ , о более высокой проводимости кристаллов  $\text{LiNbO}_3:\text{B}$  и меньшем эффекте фоторефракции, по сравнению с таковыми для конгруэнтного кристалла.

В разделе 4.4 приведены подробные результаты исследований композиционной однородности и эффекта фоторефракции кристаллов  $\text{LiNbO}_3:\text{B}$ (0.55-1.24 мол. %  $\text{B}_2\text{O}_3$  в шихте) методами лазерной коноскопии и ФИРС. Сравнительный коноскопический анализ кристаллов при использовании лазерного излучения мощностью 1 и 90 мВт, а также исследования ФИРС

(160 мВт) позволяют сделать вывод о том, что композиционная однородность кристаллов  $\text{LiNbO}_3:\text{B}$ , полученных по разным технологиям, сравнима с таковой для кристалла  $\text{LiNbO}_{3\text{конг}}$  и значительно выше композиционной однородности кристалла  $\text{LiNbO}_{3\text{стех}}$ , рис. 4.

В разделе 4.5 приведены исследования фотовольтаического ( $E_{\text{pv}}$ ) и диффузионного электрических полей кристаллов  $\text{LiNbO}_{3\text{стех}}$ ,  $\text{LiNbO}_{3\text{конг}}$  и кристаллов  $\text{LiNbO}_3:\text{B}(0.55$  и  $0.83$  мол. %  $\text{B}_2\text{O}_3$  в шихте), полученных по технологии прямого твёрдофазного легирования оксидом бора. Установлено, что в кристалле  $\text{LiNbO}_{3\text{стех}}$  сильнее, чем в кристаллах  $\text{LiNbO}_{3\text{конг}}$ ,  $\text{LiNbO}_3:\text{B}(0.55$  и  $0.83$  мол. %  $\text{B}_2\text{O}_3$  в шихте) и в кристаллах  $\text{LiNbO}_3:\text{Zn}(0.04\text{--}2.01$  мол. %  $\text{ZnO}$  в кристалле) проявляется диффузионный ( $E_D$ ) механизм переноса заряда, что характерно для кристаллов с большим количеством мелких ловушек электронов. Полученные результаты свидетельствуют также и о том, что, при увеличении содержания бора в шихте (расплаве), в кристаллах  $\text{LiNbO}_3:\text{B}$  происходит снижение концентрации точечных дефектов  $\text{Nb}_{\text{Li}}$ , очевидно, по причине связывания избыточного в расплаве конгруэнтного состава ниobia вследствие образования устойчивых ковалентных связей между бор- и ниобийсодержащими полианионами. По этой причине концентрация дефектов  $\text{Nb}_{\text{Li}}$  в кристаллах  $\text{LiNbO}_3:\text{B}$  существенно ниже, чем в конгруэнтном кристалле. Стоит отметить, что кристаллы  $\text{LiNbO}_3:\text{B}$  обладают также более высокой композиционной однородностью и гораздо меньшим эффектом фоторефракции, чем кристалл стехиометрического состава.

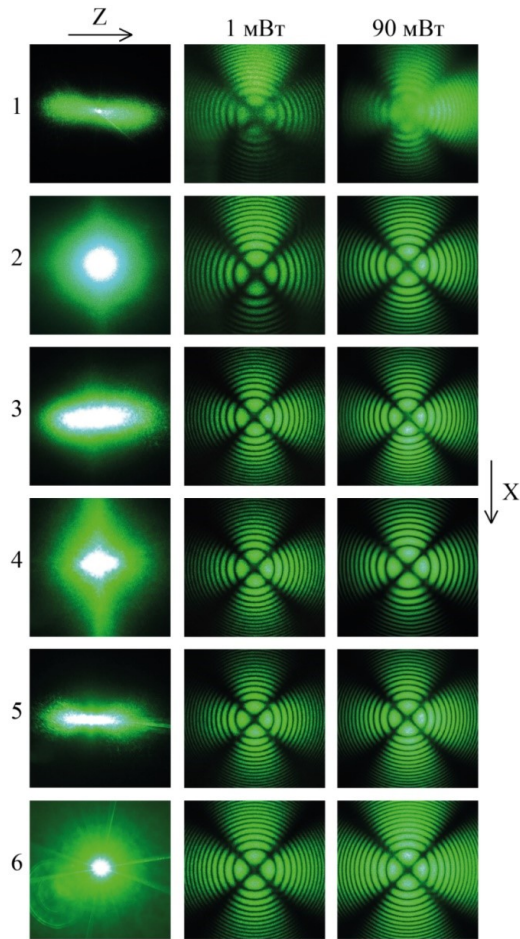


Рис. 4 – Картинки ФИРС и коноскопические картины кристаллов  $\text{LiNbO}_{3\text{стех}}(1)$ ,  $\text{LiNbO}_{3\text{конг}}(2)$  и  $\text{LiNbO}_3:\text{B}$ , полученных методом прямого твёрдофазного легирования шихты конгруэнтного состава оксидом бора (0.55(3), 0.69(4) и 0.83(5) мол. %  $\text{B}_2\text{O}_3$  в шихте) и борной кислотой (1.24(6) мол. %  $\text{B}_2\text{O}_3$  в шихте). Направление полярной оси Z в экспериментах по ФИРС указано вверху.

На коноскопических картинах ось Z направлена перпендикулярно плоскости рисунка и смотрит на нас

В разделе 4.6 представлены результаты сравнительных исследований методом ИК-спектроскопии поглощения комплексных дефектов, обусловленных наличием водородных связей, в кристаллах  $\text{LiNbO}_{3\text{стех}}$ ,  $\text{LiNbO}_{3\text{конг}}$  и кристаллах  $\text{LiNbO}_3:\text{B}(0.55\text{--}0.83$  мол. %  $\text{B}_2\text{O}_3$  в шихте), полученных по технологии прямого твёрдофазного легирования оксидом бора. Установлено, что ширины всех линий в ИК-спектрах поглощения в области валентных колебаний OH-групп кристаллов  $\text{LiNbO}_3:\text{B}$  меньше,

чем в спектре кристалла  $\text{LiNbO}_3$ конг, за исключением линии с частотой 3485  $\text{см}^{-1}$ , что в целом свидетельствует о большем упорядочении в расположении OH-групп в структуре кристаллов  $\text{LiNbO}_3:\text{B}$  по сравнению с кристаллом  $\text{LiNbO}_3$ конг. Нами были рассчитаны отношение  $\text{Li}/\text{Nb}$  и концентрация собственных дефектов ( $\text{Nb}_{\text{Li}}$  и  $\text{V}_{\text{Li}}$ ) в исследуемых кристаллах, табл. 1. Согласно полученным данным, для кристаллов  $\text{LiNbO}_3:\text{B}$  отношение  $\text{Li}/\text{Nb}$  и концентрация дефектов ( $\text{Nb}_{\text{Li}}$  и  $\text{V}_{\text{Li}}$ ) принимают промежуточные значения между значениями этих величин для кристаллов  $\text{LiNbO}_3$ стех и  $\text{LiNbO}_3$ конг, табл. 1.

Таблица 1

Значения величины  $R=[\text{Li}]/[\text{Nb}]$  и концентрация дефектов ( $\text{Nb}_{\text{Li}}$  и  $\text{V}_{\text{Li}}$ , мол. %) в кристаллах  $\text{LiNbO}_3$ стех,  $\text{LiNbO}_3$ конг и в кристаллах  $\text{LiNbO}_3:\text{B}(0.55, 0.69 \text{ и } 0.83 \text{ мол. \% B}_2\text{O}_3 \text{ в шихте})$ , полученных по технологии прямого твёрдофазного легирования шихты конгруэнтного состава оксидом бора

$\text{LiNbO}_3$ стех	$\text{LiNbO}_3$ конг	LiNbO <sub>3</sub> :B, мол. % B <sub>2</sub> O <sub>3</sub> в шихте		
		0.55	0.69	0.83
$R=[\text{Li}]/[\text{Nb}]$				
1	0.942	0.967	0.977	0.970
<i>Концентрация структурных дефектов</i>				
$\text{Nb}_{\text{Li}}$	$\text{V}_{\text{Li}}$	$\text{Nb}_{\text{Li}}$	$\text{V}_{\text{Li}}$	$\text{Nb}_{\text{Li}}$
0	0	0.976	3.904	0.553
		$\text{Nb}_{\text{Li}}$	$\text{V}_{\text{Li}}$	
		2.212	0.385	1.540
				0.503
				2.010

Концентрация OH-групп для кристаллов  $\text{LiNbO}_3$ стех,  $\text{LiNbO}_3$ конг и кристаллов  $\text{LiNbO}_3:\text{B}(0.55, 0.69 \text{ и } 0.83 \text{ мол. \% B}_2\text{O}_3 \text{ в шихте})$  принимает значения: 1.6, 3.3, 6.4, 3.4 и  $6.3 \cdot 10^{17} \text{ см}^{-3}$ , соответственно. При этом минимальное значение как концентрации OH-групп, так и дефектов  $\text{Nb}_{\text{Li}}$  и  $\text{V}_{\text{Li}}$  из серии кристаллов, легированных бором, характерно для кристалла  $\text{LiNbO}_3:\text{B}(0.69 \text{ мол. \% B}_2\text{O}_3 \text{ в шихте})$ , табл. 1. Поскольку дефекты  $\text{Nb}_{\text{Li}}$  и OH-группы в кристалле отвечают за эффект фоторефракции, то кристалл  $\text{LiNbO}_3:\text{B}(0.69 \text{ мол. \% B}_2\text{O}_3 \text{ в шихте})$  обладает наименьшим эффектом фоторефракции, что хорошо согласуется с результатами исследований ФИРС и лазерной коноскопии (рис. 4).

В разделе 4.7 приведены расчёты изобарно-изотермического потенциала ( $\Delta G_T$ , кДж/моль) образования боратов регламентируемых примесных металлов в расплаве системы  $\text{Li}_2\text{O}-\text{Nb}_2\text{O}_5-\text{B}_2\text{O}_3$ , подтверждающие ранее выдвинутую концепцию о способности бора, как химически активного элемента, обладающего высокой комплексообразующей способностью, связывать следовые количества примесных металлов (Al, Ca, Pb и др.) в расплаве, тем самым предотвращая их переход в структуру кристалла [A22, A23]. Образование боратов примесных металлов ( $\text{Al}_4\text{B}_2\text{O}_9$ ,  $\text{CaB}_2\text{O}_4$ ,  $\text{CaB}_4\text{O}_7$ ,  $\text{Ca}_2\text{B}_2\text{O}_5$ ,  $\text{Ca}_3\text{B}_2\text{O}_6$ ,  $\text{PbB}_2\text{O}_4$ ), согласно отрицательным значениям изобарно-изотермического потенциала ( $\Delta G_T < 0$ ), оказывается потенциально возможным. Это позволяет утверждать, что связывание примесных металлов (Al, Ca, Pb) борприводными в расплаве конгруэнтного состава и предотвращение их перехода в структуру кристаллов  $\text{LiNbO}_3:\text{B}$  осуществимо.

Раздел 4.8 посвящён описанию результатов модельных расчётов пространственного расположения следовых количеств катионов бора ( $\sim 4 \cdot 10^{-4}$  мол. %) в структуре кристаллов  $\text{LiNbO}_3:\text{B}$ . В отличие от легирования ниобата лития металлами, которые встраиваются в кислородные октаэдры  $\text{O}_6$  структуры кристалла, катионы бора, из-за малого ионного радиуса (0.15 Å для  $\text{B}^{3+}(\text{III})$ , 0.25 Å для  $\text{B}^{3+}(\text{IV})$ ), не способны локализоваться в кислородных октаэдрах с образованием стабильных химических связей. Нами была рассчитана суммарная энергия кулоновского взаимодействия точечных зарядов кислородно-октаэдрической структуры ниобата лития (кластер структуры,

состоящий из  $2\text{Li}^+$ ,  $2\text{Nb}^{5+}$  и  $20\text{O}^{2-}$ , рис. 5) с катионом  $\text{B}^{3+}$ , рассматриваемым в  $\text{sp}^2$ -гибридном состоянии в составе плоских треугольников  $[\text{BO}_3]^{3-}$ , локализованных в гранях вакантных тетраэдрических пустот, выполняющих роль «буфера», компенсирующего деформационные изменения кислородного каркаса структуры кристалла. Расчеты показывают, что катионы  $\text{B}^{3+}$  способны встраиваться в процессе роста кристалла в грани вакантных тетраэдрических пустот структуры кристалла в составе группы  $[\text{BO}_3]^{3-}$  (в центры граней тетраэдрических пустот, общих с литиевыми либо вакантными октаэдрами, либо в кислородную плоскость  $\text{O}_3$ , общую для смежных тетраэдров, рис. 6). Это приводит к снижению в кристаллах  $\text{LiNbO}_3:\text{B}$  концентрации дефектов  $\text{Nb}_{\text{Li}}$  и  $\text{V}_{\text{Li}}$  как минимум на количество катионов  $\text{B}^{3+}$  ( $\sim 4 \cdot 10^{-4}$  мол. %), перешедших в структуру кристалла. При этом следовые количества бора заметно искажают анионный каркас структуры кристалла (рис. 3), что приводит к изменению длин связей  $\langle\text{O}-\text{O}\rangle$  и  $\langle\text{Me}-\text{O}\rangle$ , влияющих на поляризумость кислородно-октаэдрических кластеров  $\text{MeO}_6$  и спонтанную поляризацию, определяющих нелинейно-оптические и сегнетоэлектрические свойства кристалла.

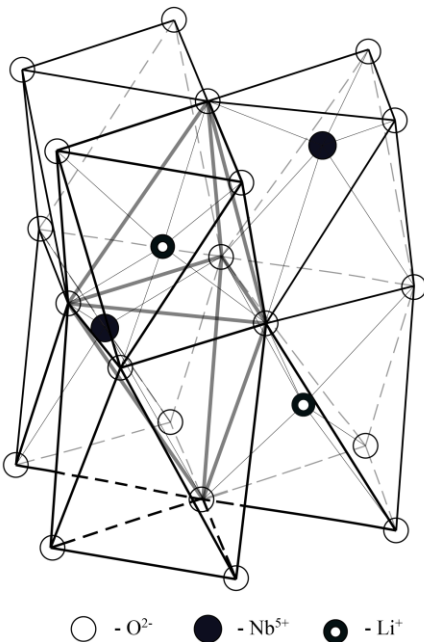


Рис. 5 – Фрагмент структуры кристалла  $\text{LiNbO}_3$ , включающий два ниобиевых ( $\text{Nb}_1, \text{Nb}_2$ ), два литиевых ( $\text{Li}_1, \text{Li}_2$ ) и два вакантных ( $\text{V}_1, \text{V}_2$ ) кислородных октаэдров  $\text{O}_6$ . В центре структуры серым цветом выделены два вакантных кислородных тетраэдра  $\text{O}_4$  [A15, A16]

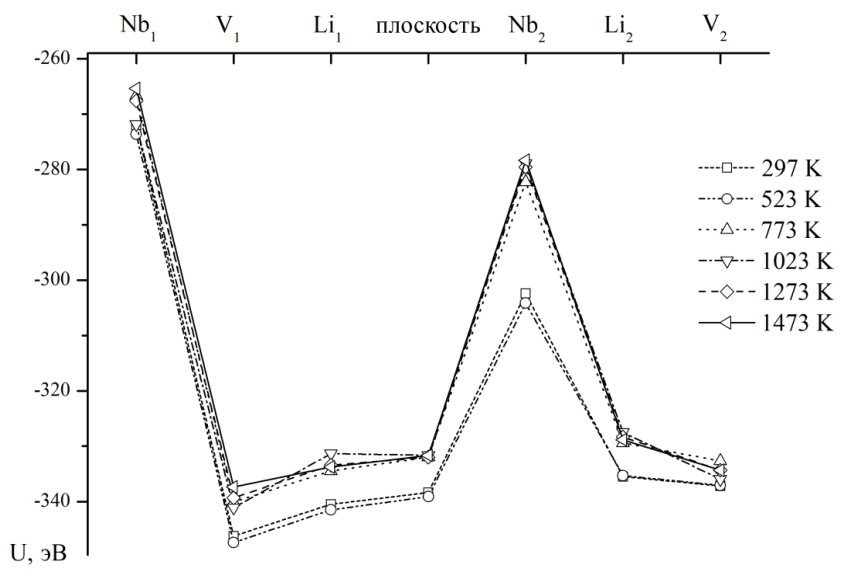


Рис. 6 – Суммарная энергия кулоновского взаимодействия точечных зарядов в кластере, состоящем из двух катионов  $\text{Li}^+$ , двух катионов  $\text{Nb}^{5+}$ , одного катиона  $\text{B}^{3+}$  и двадцати анионов кислорода  $\text{O}^{2-}$  при постоянных параметрах  $a$  и  $c$  [A14-A16]. Пара  $\text{Nb}_1-\text{B}^{3+}$  расположена в грани тетраэдра, граничащего с  $\text{NbO}_6$  из первого слоя, пара  $\text{V}_1-\text{B}^{3+}$  расположена в грани тетраэдра, граничащего с вакантным октаэдром из первого слоя, и т.д.

Факт изменения длин связей  $\langle\text{O}-\text{O}\rangle$  и  $\langle\text{Me}-\text{O}\rangle$  подтверждается данными спектроскопии КРС и РСА. Из рис. 3 также видно, что ширина линии с частотой  $880 \text{ cm}^{-1}$  в спектрах КРС кристаллов  $\text{LiNbO}_3:\text{B}(0.55-1.24 \text{ мол. \% B}_2\text{O}_3 \text{ в шихте})$  занимает промежуточное значение между ширинами этой линии в спектре кристаллов  $\text{LiNbO}_3\text{стек}(20 \text{ cm}^{-1})$  и  $\text{LiNbO}_3\text{конг}(30 \text{ cm}^{-1})$  –  $25, 25, 26$  и  $31 \text{ cm}^{-1}$ , соответственно. Таким образом, катионная подрешётка кристаллов  $\text{LiNbO}_3:\text{B}$  оказывается более упорядоченной

по сравнению с катионной подрешеткой кристалла  $\text{LiNbO}_3$ <sub>конг</sub>. Выравнивание коэффициентов распределения  $K_{\text{Li}}$  и  $K_{\text{Nb}}$  в процессе роста кристалла подтверждает приближение отношения  $\text{Li}/\text{Nb}$  к 1 в кристаллах  $\text{LiNbO}_3:\text{B}$ , а наличие бора в кислородных тетраэдрах снижает вероятность образования структурных дефектов  $\text{Nb}_{\text{Li}}$ .

В разделе 4.9 приведены результаты полнопрофильного рентгеноструктурного анализа кристаллов  $\text{LiNbO}_3:\text{B}$ (0.02 и 0.547 мол. %  $\text{B}_2\text{O}_3$  в шихте), полученных по технологии гомогенного легирования прекурсора  $\text{Nb}_2\text{O}_5:\text{B}$  и по технологии прямого твёрдофазного легирования борной кислотой. Результаты рентгеновских исследований подтверждают данные модельных расчётов и спектроскопии КРС о заметном отличии длин связей  $\langle \text{O}-\text{O} \rangle$  и  $\langle \text{Me}-\text{O} \rangle$  кислородно-октаэдрических кластеров  $\text{MeO}_6$  в кристаллах  $\text{LiNbO}_3:\text{B}$  и в номинально чистом кристалле  $\text{LiNbO}_3$ <sub>конг</sub>, что косвенно подтверждает локализацию катионов бора в тетраэдрических пустотах  $\text{O}_4$  структуры кристалла. Согласно полученным данным, структурой более совершенной и близкой к структуре кристалла  $\text{LiNbO}_3$ <sub>стех</sub>(5.5 мас. %  $\text{K}_2\text{O}$ ), полученного по технологии HTTSSG и выбранного в качестве объекта сравнения, обладает кристалл  $\text{LiNbO}_3:\text{B}$ (0.02 мол. %  $\text{B}_2\text{O}_3$  в шихте), полученный по технологии гомогенного легирования прекурсора  $\text{Nb}_2\text{O}_5:\text{B}$ , чем кристалл  $\text{LiNbO}_3:\text{B}$ (0.547 мол. %  $\text{B}_2\text{O}_3$  в шихте), полученный по технологии прямого твёрдофазного легирования борной кислотой, рис. 7. Анализ изменения длин связей  $\langle \text{Me}-\text{O} \rangle$  и искажений кислородных октаэдров позволил также заключить, что метод гомогенного легирования позволяет получить кристаллы  $\text{LiNbO}_3:\text{B}$ , наиболее приближенные к кристаллу  $\text{LiNbO}_3$ <sub>стех</sub>(5.5 мас. %  $\text{K}_2\text{O}$ ), чем кристаллы  $\text{LiNbO}_3:\text{B}$ , полученные методом прямого твёрдофазного легирования борной кислотой.

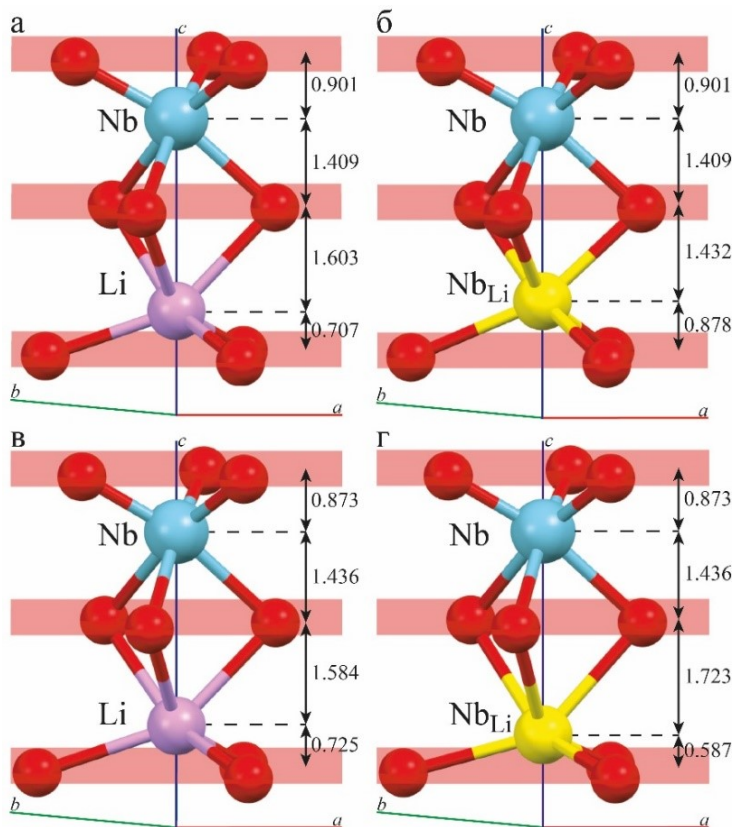


Рис. 7 – Расположение катионов в кислородно-октаэдрических кластерах  $\text{MeO}_6$  относительно плоскостей кислорода в кристаллах: а, б –  $\text{LiNbO}_3:\text{B}$ (0.02 мол. %  $\text{B}_2\text{O}_3$  в шихте), полученном по технологии гомогенного легирования с использованием прекурсора  $\text{Nb}_2\text{O}_5:\text{B}$ ; в, г –  $\text{LiNbO}_3:\text{B}$ (0.547 мол. %  $\text{B}_2\text{O}_3$  в шихте), полученном по технологии прямого твёрдофазного легирования шихты конгруэнтного состава борной кислотой

Результаты исследований, представленные в четвёртой главе, опубликованы в работах [A1, A2, A4-A23].

## **Основные выводы**

1. Обнаружено, что количество изломов (5 изломов) в концентрационном поведении ширин линий в спектрах комбинационного рассеяния света кристаллов  $\text{LiNbO}_3:\text{Zn}$ (0.04-5.84 мол. %  $\text{ZnO}$  в кристалле), полученных по технологии прямого легирования расплава, существенно превышает количество концентрационных порогов (при 3.95 и 5.19<sup>II</sup> мол. %  $\text{ZnO}$  в кристалле), известных из литературных данных. Полученные данные позволяют утверждать, что в кристаллах  $\text{LiNbO}_3:\text{Zn}$  существуют ещё три менее выраженных концентрационных порога при 1.39, 3.43 и 5.19<sup>III</sup> мол. %  $\text{ZnO}$  в кристалле. При этом кристаллы  $\text{LiNbO}_3:\text{Zn}$ (3.95 и 4.54 мол. %  $\text{ZnO}$  в кристалле), полученные по технологии прямого легирования расплава с применением метода выращивания из одного тигля, отличаются практически полным отсутствием дефектов  $\text{Nb}_{\text{Li}}$ , высокой композиционной и оптической однородностью.

2. Вклад диффузионного поля  $E_d$  в раскрытие индикатрисы фотоиндцированного рассеяния света и, соответственно, в эффект фоторефракции максимален для кристалла стехиометрического состава. Для исследованных кристаллов  $\text{LiNbO}_3:\text{Zn}$ (0.04-2.01 мол. %  $\text{ZnO}$  в кристалле), полученных по технологии прямого легирования расплава, максимальный вклад в раскрытие индикатрисы фотоиндцированного рассеяния света вносит фотовольтаическое поле вне зависимости от длины волны возбуждающего лазерного излучения. При этом наименьшим угловым распределением интенсивности рассеянного излучения (наименьшим эффектом фоторефракции) в ряду исследованных кристаллов обладает кристалл  $\text{LiNbO}_3:\text{Zn}$ (2.01 мол. %  $\text{ZnO}$  в кристалле) вне зависимости от длины волны возбуждающего излучения.

3. Научно обоснован и реализован новый подход к получению номинально чистых кристаллов  $\text{LiNbO}_3:\text{B}$ , по составу близких к стехиометрическим, с использованием химически активного флюса  $\text{B}_2\text{O}_3$ . Способ получения кристаллов  $\text{LiNbO}_3:\text{B}$  является аналогом метода легирования кристалла  $\text{LiNbO}_3$  металлическими элементами HTTSSG (High Temperature Top Seeded Solution Growth). Комплексное влияние химически активного флюса  $\text{B}_2\text{O}_3$  на структурирование расплава системы  $\text{Li}_2\text{O}-\text{Nb}_2\text{O}_5-\text{B}_2\text{O}_3$  и, как следствие, на структуру и физические характеристики кристаллов  $\text{LiNbO}_3:\text{B}$  заключается в выравнивании коэффициентов распределения лития и ниобия в процессе роста кристаллов вследствие связывания избыточного по составу ниobia в расплаве конгруэнтного состава борсодержащими полианионами, что приводит к увеличению значения  $R=[\text{Li}]/[\text{Nb}]$  в кристаллах  $\text{LiNbO}_3:\text{B}$ , и комплексовании в расплаве следовых количеств примесных металлов ( $\text{Al}, \text{Ca}, \text{Pb}$ ) в виде боратов, что способствует повышению чистоты кристаллов  $\text{LiNbO}_3:\text{B}$ .

4. Установлено, что химически активный элемент ( $\text{B}^{3+}$ ) входит в структуру кристалла в следовых количествах ( $\sim 4 \cdot 10^{-4}$  мол. %  $\text{B}_2\text{O}_3$ ). При этом катионы бора встраиваются в вакантные тетраэдрические пустоты структуры кристалла в составе группы  $[\text{BO}_3]^{3-}$ , локализуясь в одной из трёх позиций: в гранях вакантных тетраэдрических пустот, граничащих с вакантными или литиевыми октаэдрами  $\text{O}_6$ , либо в кислородной плоскости  $\text{O}_3$ , общей для смежных тетраэдров. Это приводит к снижению в кристаллах  $\text{LiNbO}_3:\text{B}$  концентрации дефектов  $\text{Nb}_{\text{Li}}$  и  $\text{V}_{\text{Li}}$ , как минимум, на количество катионов  $\text{B}^{3+}$  ( $\sim 4 \cdot 10^{-4}$  мол. %), перешедших в структуру кристалла. При этом следовые количества бора заметно изменяют длины связей  $\langle\text{O-O}\rangle$  и  $\langle\text{Me-O}\rangle$ , искажая тем самым анионный каркас структуры кристалла и изменения поляризуемость кислородно-октаэдрических кластеров  $\text{MeO}_6$  и спонтанную поляризацию, определяющих нелинейно-оптические и сегнетоэлектрические свойства кристалла.

5. Вакантные тетраэдры структуры кристалла  $\text{LiNbO}_3$  выполняют роль «буфера», то есть выступают в качестве пустот, компенсирующих деформационные изменения кислородного каркаса структуры кристалла. При этом в кристаллах  $\text{LiNbO}_3:\text{B}$  часть

тетраэдров оказывается заполненной катионами бора, что отрицательно сказывается на «буферной» способности тетраэдрических пустот компенсировать возможные деформации кислородных октаэдров. Это объясняет резкое увеличение в спектре КРС ширин линий с частотами 576, 630 см<sup>-1</sup> и увеличение интенсивности линии с частотой 878 см<sup>-1</sup>. Повышение концентрации бора в кристаллах LiNbO<sub>3</sub>:B выше следовых количеств невозможно, поскольку это приведёт к сильному искажению кислородного каркаса и возникновению сильных энергетических и, как следствие – сильных механических напряжений в кристалле.

6. Кристаллы LiNbO<sub>3</sub>:B(0.55-1.24 мол. % B<sub>2</sub>O<sub>3</sub>), полученные по технологии прямого твёрдофазного легирования шихты конгруэнтного состава, обладают пониженной концентрацией структурных дефектов Nb<sub>Li</sub>, по сравнению с конгруэнтным кристаллом (LiNbO<sub>3</sub><sub>конг</sub>), а по упорядочению структурных единиц катионной подрешётки приближаются к стехиометрическому кристаллу (LiNbO<sub>3</sub><sub>стех</sub>). Установлено, что применение метода прямого твёрдофазного легирования борной кислотой (H<sub>3</sub>BO<sub>3</sub>) в большей степени повышает сопротивление к повреждению лазерным излучением кристаллов LiNbO<sub>3</sub>:B, по сравнению с легированием оксидом бора (B<sub>2</sub>O<sub>3</sub>).

7. Установлено, что величина диффузионного поля, отвечающего за диффузионный механизм переноса заряда, для кристаллов LiNbO<sub>3</sub>:B(0.55 и 0.83 мол. % B<sub>2</sub>O<sub>3</sub> в шихте), полученных методом прямого твёрдофазного легирования, зависит от концентрации бора в шихте. Ширина запрещенной зоны кристаллов LiNbO<sub>3</sub>:B(0.55 и 0.83 мол. % B<sub>2</sub>O<sub>3</sub> в шихте) соответствует значению ширины запрещенной зоны для кристалла LiNbO<sub>3</sub><sub>стех</sub>. При этом кристаллы LiNbO<sub>3</sub>:B отличаются большей оптической однородностью по сравнению с кристаллом LiNbO<sub>3</sub><sub>стех</sub>. Показано, что расположение OH-групп в структуре кристаллов LiNbO<sub>3</sub>:B более упорядочено, чем в кристалле LiNbO<sub>3</sub><sub>конг</sub>, и гораздо менее упорядочено, чем в высокосовершенных кристаллах стехиометрического состава, полученных методом HTTSSG.

8. На основе данных полнопрофильного рентгеноструктурного анализа кристаллов LiNbO<sub>3</sub>:B(0.02 и 0.547 мол. % B<sub>2</sub>O<sub>3</sub> в шихте) установлено, что кристалл LiNbO<sub>3</sub>:B(0.02 мол. % B<sub>2</sub>O<sub>3</sub> в шихте), полученный по технологии гомогенного легирования прекурсора Nb<sub>2</sub>O<sub>5</sub>:B, обладает структурой более совершенной и более близкой к структуре кристалла стехиометрического состава LiNbO<sub>3</sub><sub>стех</sub>(5.5 мас. % K<sub>2</sub>O), полученного по технологии HTTSSG, чем кристалл LiNbO<sub>3</sub>:B(0.547 мол. % B<sub>2</sub>O<sub>3</sub> в шихте), полученный по технологии прямого твёрдофазного легирования борной кислотой. В кристалле LiNbO<sub>3</sub>:B(0.02 мол. % B<sub>2</sub>O<sub>3</sub> в шихте) изменения длин связей и искажения кислородных октаэдров, по сравнению с кристаллом LiNbO<sub>3</sub><sub>стех</sub>(5.5 мас. % K<sub>2</sub>O), выражены слабее, чем в кристалле LiNbO<sub>3</sub>:B(0.547 мол. % B<sub>2</sub>O<sub>3</sub> в шихте).

### **Цитируемая литература**

1. Фундаментальные аспекты технологии сильно легированных кристаллов ниобата лития: монография / М. Н. Палатников, Н. В. Сидоров, О. В. Макарова, И. В. Бирюкова. — Апатиты: КНЦ РАН, 2017. — 241с.
2. Can H., Shichao W., Ning Y. Subsolidus phase relations and the crystallization region of LiNbO<sub>3</sub> in the system Li<sub>2</sub>O-B<sub>2</sub>O<sub>3</sub>-Nb<sub>2</sub>O<sub>5</sub> // Journal of Alloys and Compounds. — 2010. — V. 502, I. 1. — P. 211–214.
3. Koh S., Uda S., Huang X. Partitioning of ionic species and crystallization electromotive force during the melt growth of LiNbO<sub>3</sub> and Li<sub>2</sub>B<sub>4</sub>O<sub>7</sub> // Journal of Crystal Growth. — 2007. — V. 306, I. 2. — P. 406–412.
4. Uda S. Activities and equilibrium partition coefficients of solute constituents in the melts of oxide materials with and without solid solution // Journal of Crystal Growth. — 2008. — V. 310. — P. 3864–3868.

5. Пат. 2502672 Российская Федерация, МПК C 01 G 33/00, C 01 D 15/00 (2006.01). Способ получения шихты ниобата лития для выращивания монокристаллов / Палатников М. Н., Маслобоева С. М., Арутюнян Л. Г., Кравченко О. Э., Бирюкова И. В., Макарова О. В., Ефремов И. Н., Калинников В. Т.; Ин-т химии и технологии редких элементов и минер. сырья Кол. науч. центра РАН. — № 2012129111/05; заявл. 10.07.2012; опубл. 27.12.2013, Бюл. № 36.

6. Пат. 2576641 Российская Федерация, МПК C 30 B 29/30, C 01 G 33/00, C 01 D 15/00 (2006.01). Способ получения шихты ниобата лития для выращивания монокристаллов / Маслобоева С. М., Арутюнян Л. Г., Палатников М. Н.; Ин-т химии и технологии редких элементов и минер. сырья Кол. науч. центра РАН. — № 2015100319/05; заявл. 12.01.2015; опубл. 10.03.2016, Бюл. № 7.

7. Маслобоева С. М., Кадырова Г. И., Арутюнян Л. Г. Синтез и исследование фазового состава твердых прекурсоров  $\text{Nb}_2\text{O}_5\langle\text{B}\rangle$  и шихты  $\text{LiNbO}_3\langle\text{B}\rangle$  // Журнал неорганической химии. — 2016. — Т. 61, № 4. — С. 433–440.

8. Выращивание сильно легированных кристаллов  $\text{LiNbO}_3:\text{Zn}$  / М. Н. Палатников, И. В. Бирюкова, О. В. Макарова, В. В. Ефремов, О. Э. Кравченко, В. И. Скиба, Н. В. Сидоров, И. Н. Ефремов // Неорганические материалы. — 2015. — Т. 51, № 4. — С. 428–432.

9. Особенности структуры и оптические свойства кристаллов  $\text{LiNbO}_3:\text{ZnO}$  (3.43–5.84 мол. %) / Н. В. Сидоров, Н. А. Теплякова, А. А. Яничев, М. Н. Палатников, О. В. Макарова, Л. А. Алешина, А. В. Кадетова // Неорганические материалы. — 2017. — Т. 53, № 5. — С. 491–497.

### *Основные результаты опубликованы*

#### **В изданиях в базах данных Web of Science, Scopus и рекомендованных ВАК:**

A1. Структурный беспорядок и оптические свойства конгруэнтных кристаллов ниобата лития, легированных цинком и бором / Н. В. Сидоров, М. Н. Палатников, А. А. Яничев, **Р. А. Титов**, Н. А. Теплякова // Оптика и спектроскопия. — 2016. — Т. 121, № 1. — С. 40–49.

A2. Структурный беспорядок кристаллов  $\text{LiNbO}_3:\text{B}$  и его проявление в спектре комбинационного рассеяния света / Н. В. Сидоров, М. Н. Палатников, А. А. Яничев, **Р. А. Титов**, Н. А. Теплякова // Журнал прикладной спектроскопии. — 2016. — Т. 83, № 5. — С. 707–714.

A3. Особенности получения и строения кристаллов  $\text{LiNbO}_3:\text{Zn}$  в области концентрационного порога 6.76 мол. %  $\text{ZnO}$  / Н. В. Сидоров, М. Н. Палатников, А. А. Яничев, **Р. А. Титов**, О. В. Макарова // Журнал технической физики. — 2017. — Т. 87, № 3. — С. 394–400.

A4. Structure disorder and photorefractive properties of  $\text{LiNbO}_3:\text{Zn}$  and  $\text{LiNbO}_3:\text{B}$  crystals / N. V. Sidorov, M. N. Palatnikov, N. A. Teplyakova, A. A. Yanichev, **R. A. Titov** // Proceedings of the International Conference on “Physics and Mechanics of New Materials and Their Applications”, PHENMA 2016 / eds. I. A. Parinov, Shun-Hsyung Chang, M. A. Jani. — New York: Springer International Publishing, 2017. — Chapter 17. — P. 191–203.

A5. Физико-химические и оптические характеристики монокристаллов  $\text{LiNbO}_3$ , легированных бором / М. Н. Палатников, Н. В. Сидоров, **Р. А. Титов**, Н. А. Теплякова, О. В. Макарова // Перспективные материалы. — 2018. — № 6. — С. 5–15.

A6. Особенности строения, физико-химические и оптические характеристики кристаллов ниобата лития, выращенных из расплавов, легированных бором / Н. В. Сидоров, Н. А., Теплякова **Р. А. Титов**, М. Н. Палатников // Журнал технической физики. — 2018. — Т. 88, № 12. — С. 1820–1828.

A7. Структурный беспорядок и оптические характеристики конгруэнтных кристаллов ниобата лития, выращенных из расплавов, легированных бором / Н. В. Сидоров, Н. А. Теплякова, **Р. А. Титов**, М. Н. Палатников // Сибирский физический журнал. — 2018. — Т. 13, № 2. — С. 70–79.

A8. Влияние бора на структурные особенности и фоторефрактивные свойства монокристаллов  $\text{LiNbO}_3$  / Н. В. Сидоров, Н. А. Теплякова, **Р. А. Титов**, М. Н. Палатников // Физико-химические аспекты изучения кластеров,nanoструктур и наноматериалов. — 2019. — № 11. — С. 223–231.

A9. Optical properties and structure particularities of  $\text{LiNbO}_3$  crystals grown from a boron-doped melt / N. V. Sidorov, M. N. Palatnikov, N. A. Teplyakova, **R. A. Titov**, K. Bormanis // Integrated Ferroelectrics. — 2019. — V. 196, № 1. — P. 39–42.

A10. Fine particularities of structure and optical properties of lithium niobate crystals grown from boron doped charge with different genesis / N. V. Sidorov, N. A. Teplyakova, **R. A. Titov**, M. N. Palatnikov, A. V. Syuy, N. N. Prokopiv // Proceedings of the International Conference on “Physics and Mechanics of New Materials and Their Applications”, PHENMA 2018 / eds. I. A. Parinov, Shun-Hsyung Chang, Yun-Hae Kim. — New York: Springer International Publishing, 2019. — Chapter 21. — P. 277–292.

A11. Фотоэлектрические поля и особенности вторичной структуры номинально чистых кристаллов ниобата лития, выращенных из шихты, легированной бором / Н. В. Сидоров, Н. А. Теплякова, **Р. А. Титов**, М. Н. Палатников // Журнал технической физики. — 2020. — Т. 90, № 4. — С. 652–659.

A12. Structural features of nominally pure lithium niobate crystals grown from boron-doped charge / N. V. Sidorov, **R. A. Titov**, N. A. Teplyakova, M. N. Palatnikov, A. V. Syuy // Solid State Phenomena. — 2020. — V. 312. — P. 128–133.

A13. Моделирование структуры кристаллов  $\text{LiNbO}_3$ , выращенных с применением флюса  $\text{B}_2\text{O}_3$  / **Р. А. Титов**, В. М. Воскресенский, Н. В. Сидоров, Н. А. Теплякова, М. Н. Палатников // Физико-химические аспекты изучения кластеров, nanoструктур и наноматериалов. — 2020. — № 12. — С. 206–212.

A14. Особенности структуры и оптические свойства номинально чистых кристаллов  $\text{LiNbO}_3$ , выращенных из шихты, содержащей  $\text{B}_2\text{O}_3$  / **Р. А. Титов**, В. М. Воскресенский, Н. В. Сидоров, Н. А. Теплякова, М. Н. Палатников // Журнал технической физики. — 2021. — Т. 91, № 1. — С. 64–71.

A15. Особенности локализации катионов  $\text{B}^{3+}$  в структуре кристалла  $\text{LiNbO}_3$  и их влияние на свойства кристалла / Н. В. Сидоров, **Р. А. Титов**, В. М. Воскресенский, М. Н. Палатников // Журнал структурной химии. — 2021. — Т. 62, № 2. — С. 235–243.

A16. Boron influence on defect structure and properties of lithium niobate crystals / N. V. Sidorov, N. A. Teplyakova, O. V. Makarova, M. N. Palatnikov, **R. A. Titov**, D. V. Manukovskaya, I. V. Birukova // Crystals. — 2021. — V. 11, I. 5. — P. 458 (1–37).

#### **В других рецензируемых изданиях:**

A17. **Титов Р. А.**, Яничев А. А., Ефремов И. Н. Исследование структурного беспорядка в монокристаллах ниобата лития, легированных  $\text{Zn}^{2+}$  и  $\text{B}^{3+}$  в широком диапазоне концентраций, методом комбинационного рассеяния света // Труды Кольского научного центра РАН. Химия и материаловедение. — 2017. — Т. 5, № 8. — С. 205–212.

A18. Оптическая однородность и концентрационные перестройки структуры кристаллов  $\text{LiNbO}_3:\text{B}$  / **Р. А. Титов**, Н. В. Сидоров, Н. А. Теплякова, А. А. Яничев, М. Н. Палатников // Труды Кольского научного центра РАН. Химия и материаловедение. — 2018. — Т. 1, № 9. — С. 753–758.

А19. Влияние бора на выращивание монокристаллов ниобата лития / **Р. А. Титов**, Н. В. Сидоров, Н. А. Теплякова, М. Н. Палатников // Труды Кольского научного центра РАН. Химия и материаловедение. — 2019. — Т. 1, № 10. — С. 375–383.

А20. Структурные особенности и оптические свойства номинально чистых кристаллов ниобата лития, выращенных из шихты, легированной бором / **Р. А. Титов**, Н. В. Сидоров, Н. А. Теплякова, М. Н. Палатников, И. В. Бирюкова // Труды Кольского научного центра РАН. Химия и материаловедение. — 2020. — Т. 3, № 11. — С. 189–195.

А21. Влияние следовых количеств бора на структурные дефекты кристалла ниобата лития / **Р. А. Титов**, Н. В. Сидоров, Н. А. Теплякова, М. Н. Палатников, И. В. Бирюкова // Труды Кольского научного центра РАН. Химия и материаловедение. — 2020. — Т. 3, № 11. — С. 195–201.

А22. **Титов Р. А.** Влияние комплексообразующей способности катионов  $B^{3+}$  в составе флюса  $B_2O_3$  на характеристики кристаллов  $LiNbO_3:B$  // Труды Кольского научного центра РАН. Химия и материаловедение. — 2021 — Т. 2, № 12. — С. 261–267.

А23. Новый способ повышения стехиометрии и структурного совершенства нелинейнооптического кристалла ниобата лития / **Р. А. Титов**, Н. В. Сидоров, Н. А. Теплякова, В. М. Воскресенский, И. В. Бирюкова, М. Н. Палатников // Вестник Кольского научного центра РАН. — 2021. — Т. 2, № 14. — С. 16–28.

#### **Патенты:**

А24. 2777116 РФ, МПК C30B 15/04, 29/30 (2006.01). Способ получения борсодержащего монокристалла ниобата лития / **Титов Р. А.**, Бирюкова И. В., Палатников М. Н., Сидоров Н. В., Кравченко О. Э., Кадетова А. В.; Федер. гос. бюджетное учреждение науки Федер. исследоват. центр «Кольский научный центр РАН» (ФИЦ КНЦ РАН). - № 2022107480/05 заявл. 21.03.2022., опубл. 01.08.2022, Бюл. № 22.

## Автореферат

ТИТОВ Роман Алексеевич

ТЕХНОЛОГИЧЕСКИЕ И СТРУКТУРНЫЕ ФАКТОРЫ ФОРМИРОВАНИЯ  
ФИЗИЧЕСКИХ ХАРАКТЕРИСТИК НЕЛИНЕЙНО-ОПТИЧЕСКИХ  
МОНОКРИСТАЛЛОВ НИОБАТА ЛИТИЯ, ЛЕГИРОВАННЫХ ЦИНКОМ И БОРОМ

Технический редактор В. Ю. Жиганов

Подписано к печати 23.12.2022. Формат бумаги 60x84 1/16.

Усл. печ. л. 1,28. Заказ № 24. Тираж 120 экз.

ФГБУН ФИЦ КНЦ РАН

184209, г. Апатиты, Мурманская область, ул. Ферсмана, 14